

YOR9-2001-0467-US1

Black et al.

Sheet 1 of 7

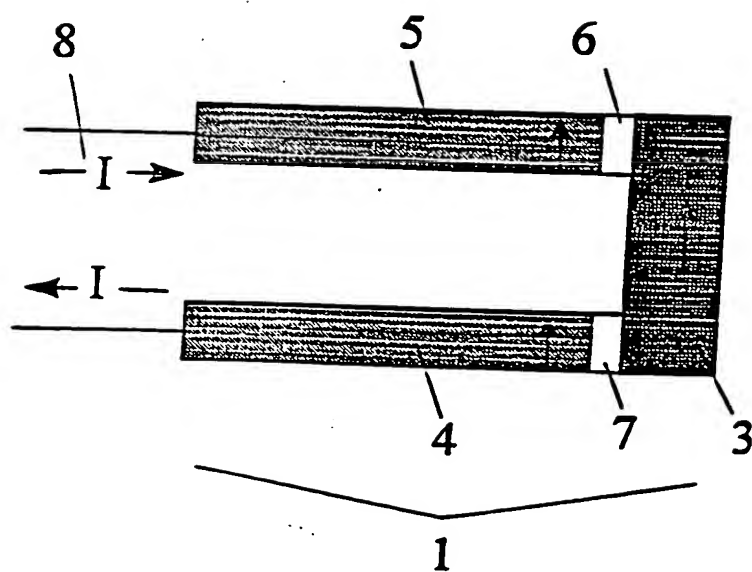


Fig. 1(a)

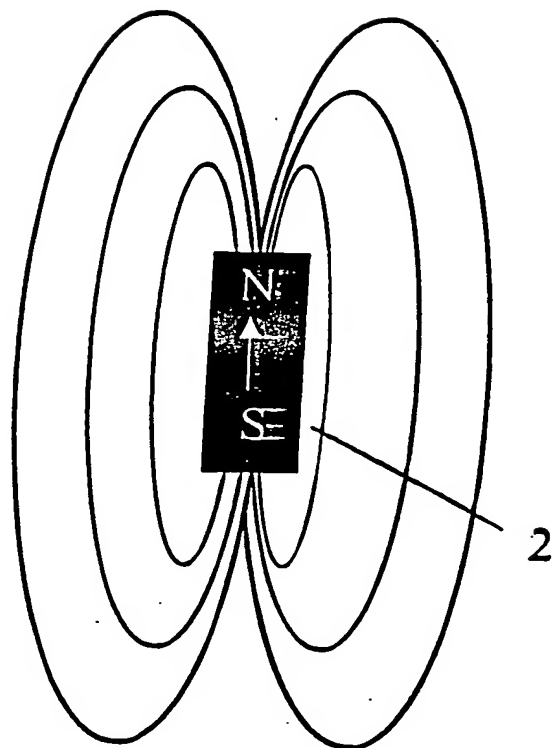
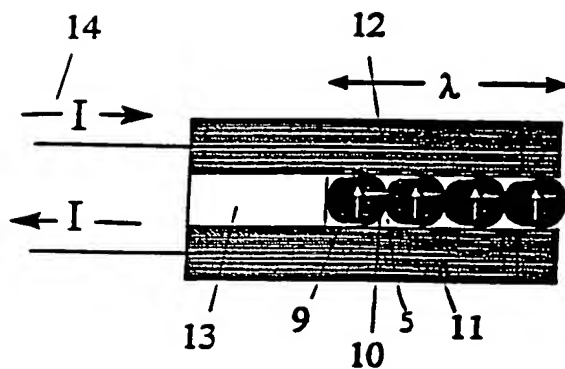
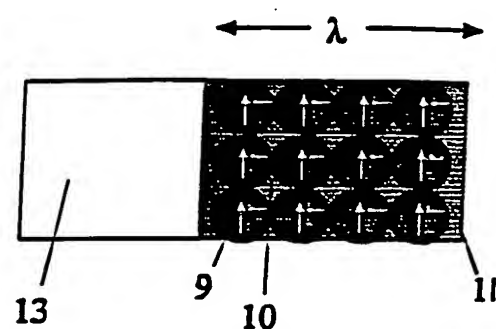
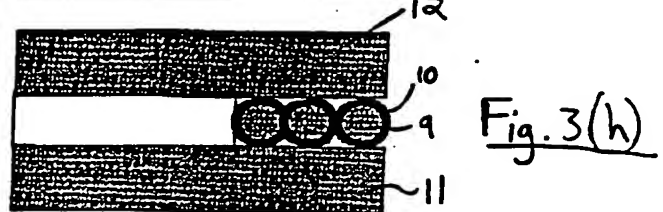
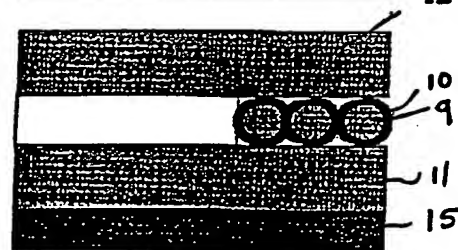
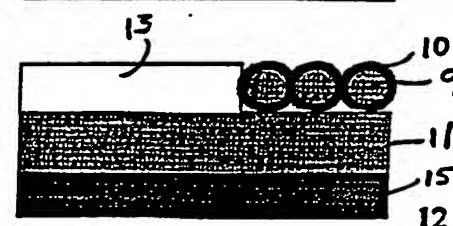
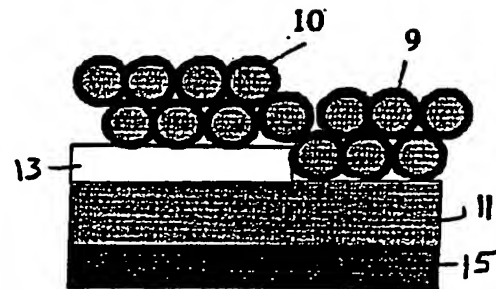
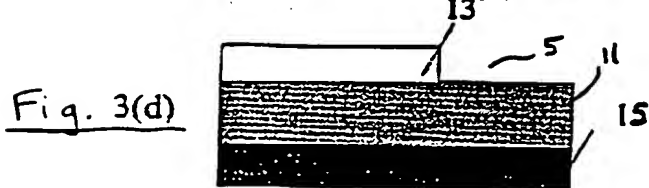
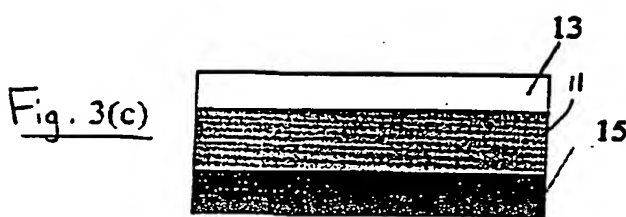
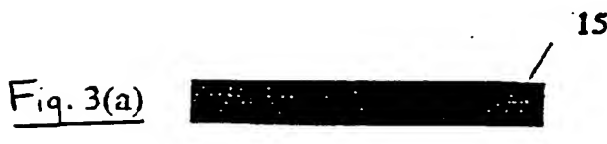


Fig. 1(b)

Fig. 2(a)Fig. 2(b)Fig. 2(c)Fig. 2(d)



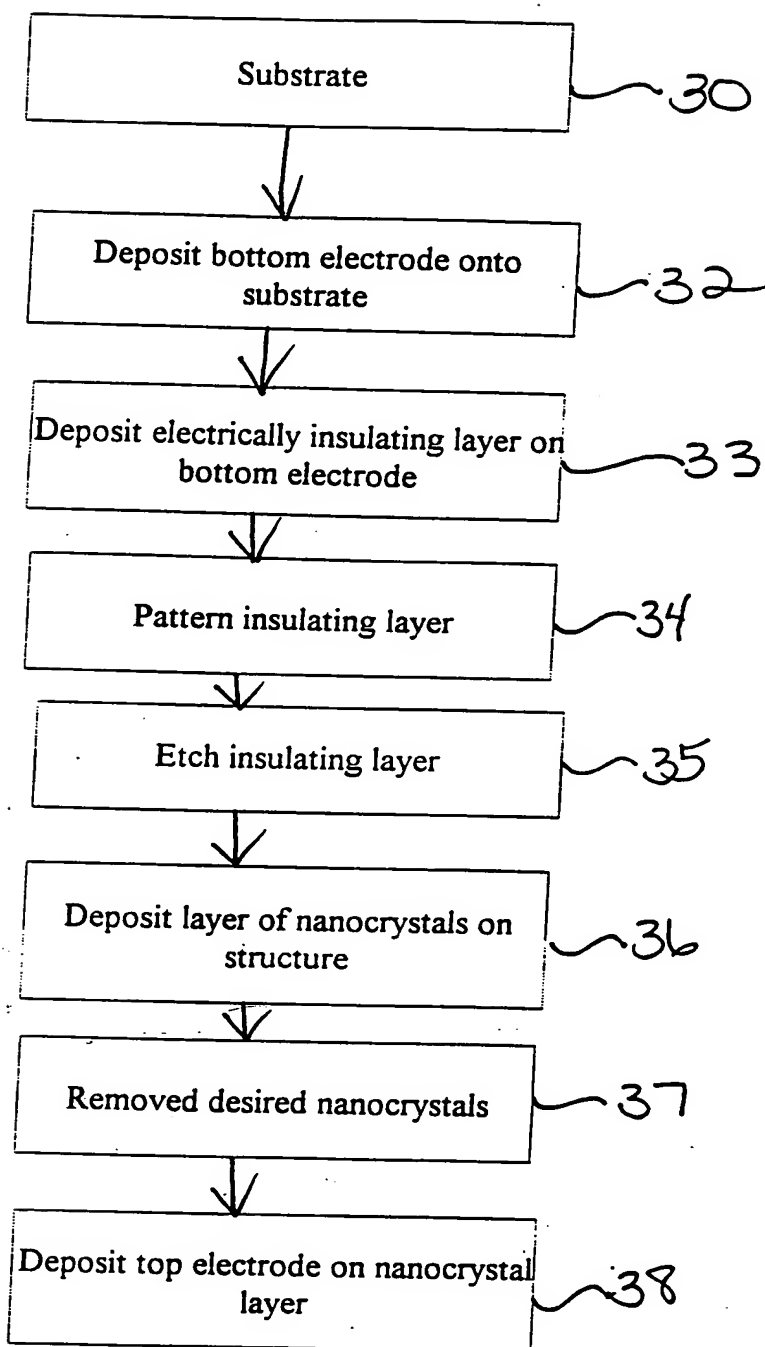
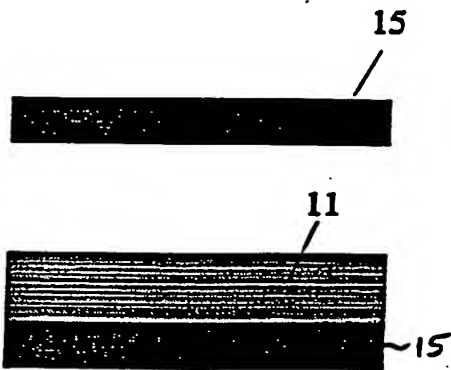
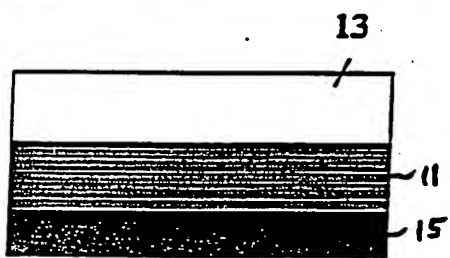
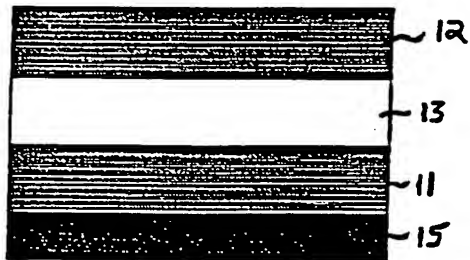
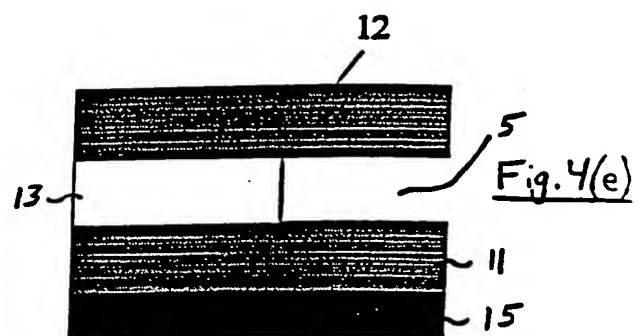
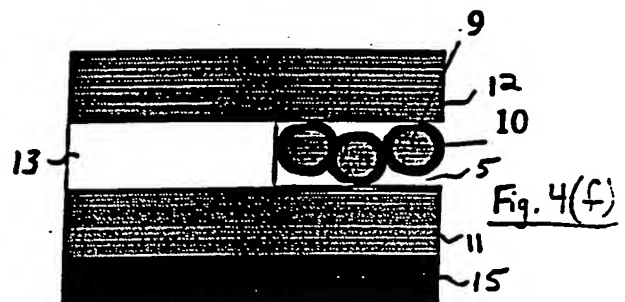
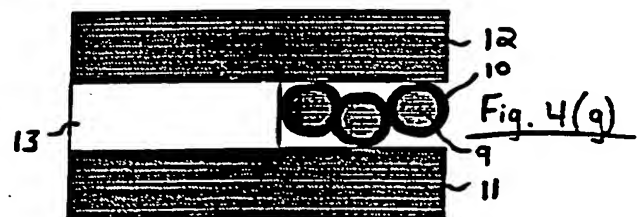


Fig. 3(i)

Fig. 4(a)Fig. 4(b)Fig. 4(c)Fig. 4(d)Fig. 4(e)Fig. 4(f)Fig. 4(g)

100073755-021102

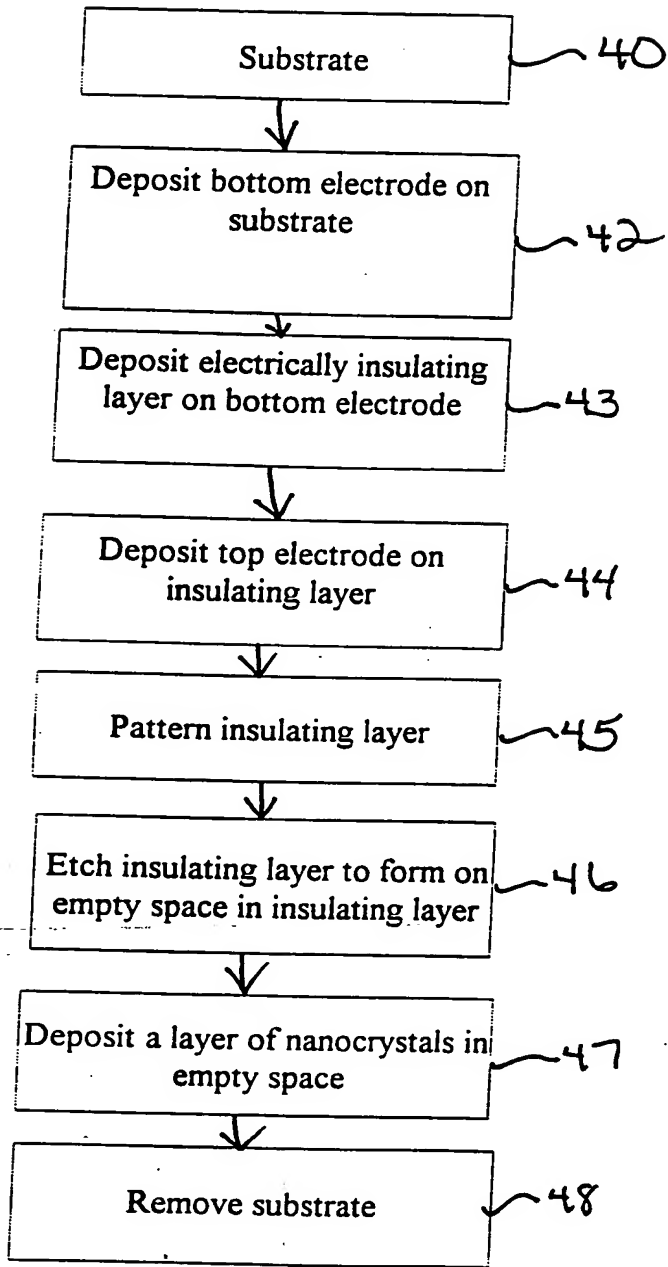


Fig. 4 (h)

